

防波堤および海岸堤防前面におかれた消波ブロックの効果について

大阪市立大学教授	工学部 工学博士 永井 莊七郎
同 上 講師	同 久保 弘一
同 上 助手	同 玉井 佐一
同 上 助手	同 上田 伸三

1. 消波ブロックの目的

(1) 防波堤前面に設置する場合

防波堤直立部を滑動あるいは転倒させる強大な碎波の圧力は、碎波の主部が直立部に衝突した時に作用するきわめて作用時間が短かい衝撃圧力である。すなわち波圧・時間曲線の初期に現われる非常に急な peak pressure であって、その後に現われるゆるやかな圧力は跳波の落下による動水圧で、peak pressure に比してはるかに小さいものである¹⁾。

したがって防波堤の設計には、この強大な衝撃圧力を減少させるように工夫すれば最も望ましいわけである。このような目的のために防波堤前面に設置すべく考案されたものが消波ブロックである。碎波の強大な衝撃圧力は、碎波の大きな運動量が直立部に衝突した瞬間に力積に変わるためにあるから、消波ブロックは碎波の運動量をすみやかに吸収するような特長を有していることが第1の条件であって、第2には波圧に対して安定であるような形状をしていなければならない。

すでに第6回海岸工学講演会（昭和34年11月、新潟市）において発表したように、碎波の大きな運動量を吸収するには、消波ブロック層の表面における凹凸よりも、ブロック層内の適当に遮蔽された空げきが最も重要である。テトラポット層の表面には非常に大きな凹凸を有していて、その粗度によって波のエネルギーの一部を減殺するであろうと思われるが（この粗度による効果は実験の結果によると想像以上に小さい）、層内には遮蔽された空げきは少ない。これに対して新しく考案された中空4脚ブロックは、その層内部に適当な大きさの遮蔽された空げきを多量に有し、かつ層の表面にはテトラポットよりは小さいが、相当大きな凹凸を持っている。また波圧に対する安定性はテトラポットを初め、従来使用されて來たいずれのブロックよりも大きいことは「新しい消波用コンクリート・ブロックに関する研究」で詳細に説明されているとおりである。

(2) 海岸堤防前面に設置する場合

海岸堤防あるいは防波護岸においては、堤防あるいは護岸に働く碎波の波圧を減少させることよりも、堤防の表のり面における波のはい上り、あるいは堤防に碎波が

衝突したときに生ずる大きな跳波を減少させて、天端からの越波を少なくすることが最も重要である。この目的のためには大きな運動量を持った波を堤防あるいは護岸に直接衝突させないことが大切であって、堤防あるいは護岸の前面に相当高い消波堤を設置し、その表面を消波ブロックでおおい（2層積）、波の運動量の大部分を消波堤で吸収するようにしなければならない。もし堤防前面の水深（設計潮位のときの水深）が比較的浅い場合には、堤防からある距離だけ沖の場所に設計潮位より 0.5～1.0 m 高い消波堤を設置すれば非常に有効である。

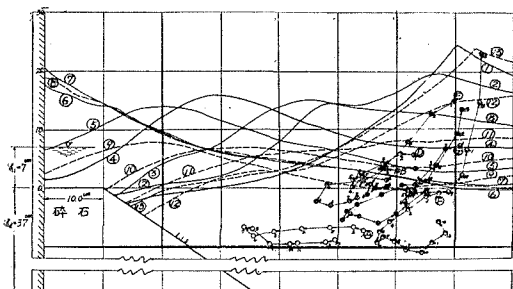
2. 防波堤における消波ブロックの効果

基礎捨石堤の高さ 37 cm、天端 10 cm、表法の勾配 1:1.5、直立壁の高さ 30 cm なる混成防波堤において、基礎堤の天端および表法の外側をそれぞれ大型の碎石、テトラポットおよび中空4脚N型ブロックの2層積で被覆した場合について、基礎堤天端上の水深（直立壁前面の水深） $h_1 = 7 \text{ cm}$ および 13 cm にかえて、周期 $T = 1.25 \sim 1.29 \text{ sec}$ の碎波を衝突させたときの防波堤直前（直立壁から沖へほぼ半波長まで）における $1/10 \text{ sec}$ ごとの波形の変化を高速度映画（1秒 700～800 コマ）によって撮影した結果を示すと 図-1～6 のごとくである。これらの図を比較した結果、3種類の基礎堤における最もいちじるしい特長は、中空4脚ブロックで被覆した場合には、碎波が直立壁に衝突するときおよび衝突後直立壁を上昇するときに、直立壁から、波頂に至る間に多数の泡を生じていることである。テトラポット堤においても、 $h_1 = 7 \text{ cm}$ のときには直立壁に衝突後、壁を上昇するときに相当多くの泡を生じ、 $h_1 = 13 \text{ cm}$ のときには直立壁に衝突するとき、その直前に一部分泡を生じている。これに反し碎石堤ではほとんど泡は生じていない。防波堤付近における水分子の速度を比較しようと考えたが、投入した粒子の位置が各実験において必ずしも同じではなかったので、正確に比較することはできなかったが、大体において3種の基礎堤付近の水分子の速度に寄せ波の時も引き波の時も大差がないようである。テトラポットの大きな凹凸も波の水分子の速度を減少させるにはあまり効果がないことが明らかになった。

前記のように中空4脚ブロック堤において特に多量の

図-1 碎石で被覆した場合 $h_1=7.0\text{ cm}$

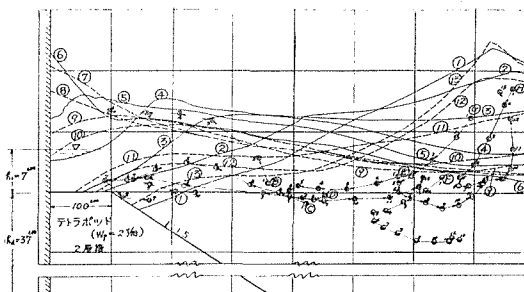
$$\begin{cases} h_0=44.0\text{ cm}, h_1=7.0\text{ cm}, T=1.25\text{ sec} \\ w=1.76\text{ m/sec}, L=2.20\text{ m}, H=1.62\text{ cm} \\ H/L=0.074 \end{cases}$$



粒子の位置	粒子の速度 $V \text{ cm/sec}$						
	A	B	C	D	E	F	G
1 ~ 2	18	20	14	24	45	24	26
2 ~ 3	42	44	22	34	62	38	40
3 ~ 4	48	63	38	45	62	38	36
4 ~ 5	48	36	46	14	25	26	28
5 ~ 6	36	26	23	12	18	20	13
6 ~ 7	24	23	17	26	18	14	22
7 ~ 8	16	14	18	40	21	21	23
8 ~ 9	40		16	53	37	24	40
9 ~ 10	34		36		34	28	38
10 ~ 11	14		34		34	24	44
11 ~ 12	48		24		64	28	85
12 ~ 13	17		43		41	23	84

図-2 2t テトラポットで被覆した場合 $h_1=7.0\text{ cm}$

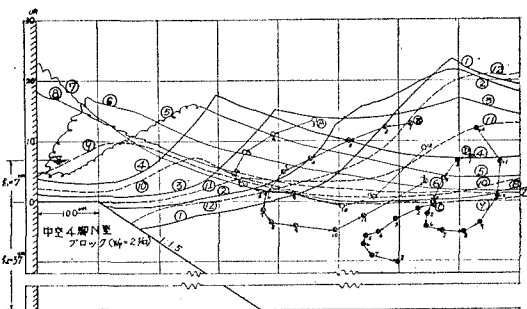
$$\begin{cases} h_0=44.0\text{ cm}, h_1=7.0\text{ cm}, T=1.29\text{ sec} \\ w=1.76\text{ m/sec}, L=2.27\text{ m}, H=14.7\text{ cm} \\ H/L=0.065 \end{cases}$$



粒子の位置	粒子の速度 $V \text{ cm/sec}$						
	B	C	D	E	F	G	H
1 ~ 2	44	48	20	38	34	40	30
2 ~ 3	100	50	95	50	42	54	60
3 ~ 4	54	62	132	46	32	44	50
4 ~ 5	56	50	64	34	20	24	30
5 ~ 6	62	54	34	16	16	16	14
6 ~ 7	42	36	10	18	20	16	
7 ~ 8	30	40	22	26	28	30	
8 ~ 9	42	44	36	32	30	28	
9 ~ 10	34		52	30	30	22	
10 ~ 11			58	24	26	32	
11 ~ 12			50	8	28	50	
12 ~ 13			18	12		48	

図-3 2t 中空4脚ブロックで被覆した場合 $h_1=7.0\text{ cm}$

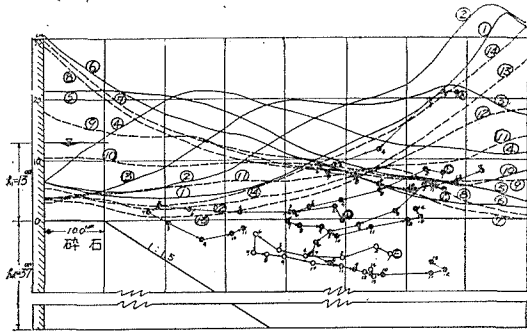
$$\begin{cases} h_0=44.0\text{ cm}, h_1=7.0\text{ cm}, T=1.29\text{ sec} \\ w=1.76\text{ m/sec}, H=14.7\text{ cm}, L=2.27\text{ m} \\ H/L=0.065 \end{cases}$$



粒子の位置	粒子の速度 $V \text{ cm/sec}$			
	A	B	C	D
1 ~ 2			42	24
2 ~ 3			66	38
3 ~ 4		72	70	40
4 ~ 5		56	50	24
5 ~ 6		38	46	20
6 ~ 7		22	28	28
7 ~ 8		34	24	36
8 ~ 9		54	22	32
9 ~ 10		84	66	52
10 ~ 11		54	54	60
11 ~ 12		118	118	68

図-4 碎石で被覆した場合 $h_1=13.0\text{ cm}$

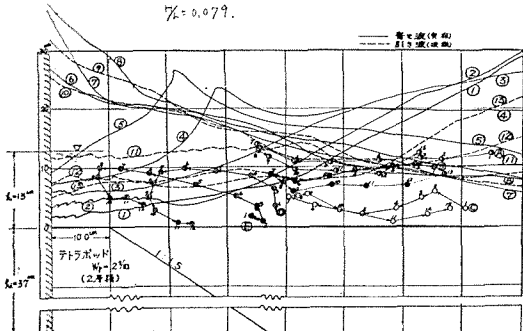
$$\begin{cases} h_0=50.0\text{ cm}, h_1=13.0\text{ cm}, T=1.40\text{ sec} \\ w=1.82\text{ m/sec}, L=2.55\text{ m}, H=19.2\text{ cm} \\ H/L=0.084 \end{cases}$$



粒子の位置	粒子の速度 $V \text{ cm/sec}$				
	A	B	C	D	E
1 ~ 2	20	28	34	28	26
2 ~ 3	28	84	64	76	60
3 ~ 4	118	66	66	84	60
4 ~ 5	78	54	50	86	46
5 ~ 6	26	26	30	50	46
6 ~ 7	18	18	20	28	30
7 ~ 8	48	22	34	12	22
8 ~ 9	40	36	44	38	30
9 ~ 10	52	30	48	62	50
10 ~ 11	40	58	80	50	48
11 ~ 12	40	62	24	22	40
12 ~ 13	48	22	26		16
13 ~ 14		16			12

図-5 2t テトラポットで被覆した場合 $h_1=13.0 \text{ cm}$

$$\begin{cases} h_0=50.0 \text{ cm}, h_1=13.0 \text{ cm}, T=1.29 \text{ sec} \\ w=1.82 \text{ m/sec}, L=2.35 \text{ m}, H=18.5 \text{ cm} \\ H/L=0.079 \end{cases}$$

 $\gamma=0.079$.

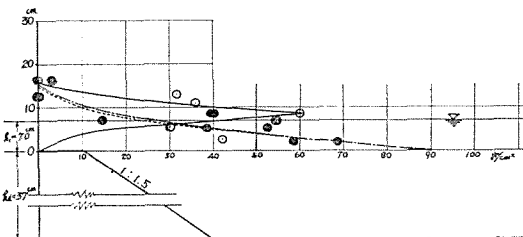
粒子の位置	粒子の速度 $V \text{ cm/sec}$				
	A	B	C	D	E
1 ~ 2	86	32	60	30	24
2 ~ 3	36	38	26	46	28
3 ~ 4	72	64	46	60	40
4 ~ 5	84	46	58	54	36
5 ~ 6	62	58	84	40	82
6 ~ 7	70	44	48	24	50
7 ~ 8	10	24	16	24	36
8 ~ 9	22	24	16	26	18
9 ~ 10	50	68	62	46	42
10 ~ 11	70	70	94	24	30
11 ~ 12	76	76	60		32
12 ~ 13	78	80	40		
13 ~ 14					

気泡を生ずるのは、このブロック層内に多数の遮蔽された空げきが存するからであって、碎波が直立壁に向かって進行して来るとき、この空げき内の気泡が押出されるためであると考えられる。このように碎波が直立壁に衝突するときに壁の直前に多量の気泡を生ずることは、碎波の圧力を減殺するのに非常に効果がある。このことは次に示す実験結果がよく証明している。いま 図-1~3 の場合および 図-4~6 の場合において直立壁に働く碎波の最大同時波压を示すと 図-7 および 図-8 のごとくである。図-7 によれば、碎石堤では最大同時波压

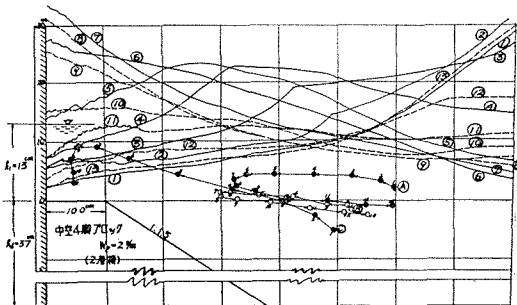
図-7 $h_1=7.0 \text{ cm}$, $T=1.29 \text{ sec}$, 最大同時波压

$$T_m=1.29 \text{ sec}, h_1=7.0 \text{ cm}$$

- 碎石, $P=468 \text{ gr/cm}$, $H_m=15.6 \text{ cm}$
- テトラポット (2層積, 正), $P=444 \text{ gr/cm}$, $H_m=14.8 \text{ cm}$
- 中空4脚N型ブロック (2層積), $P=310 \text{ gr/cm}$, $H_m=15.5 \text{ cm}$ (70%)

図-6 2t 中空4脚ブロックで被覆した場合 $h_1=13.0 \text{ cm}$

$$\begin{cases} h_0=50.0 \text{ cm}, h_1=13.0 \text{ cm}, T=1.29 \text{ sec} \\ w=1.88 \text{ m/sec}, L=2.42 \text{ m}, H=21.2 \text{ cm} \\ H/L=0.088 \end{cases}$$

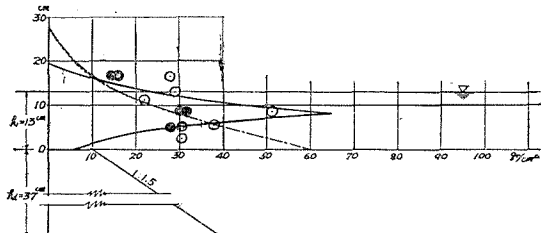


粒子の位置	粒子の速度 $V \text{ cm/sec}$		
	A	B	C
1 ~ 2	26	10	40
2 ~ 3	50	32	62
3 ~ 4	66	60	88
4 ~ 5	68	58	96
5 ~ 6	48	50	88
6 ~ 7	22	18	58
7 ~ 8	12	6	36
8 ~ 9	34	30	22
9 ~ 10	60	58	22
10 ~ 11	64	68	18
11 ~ 12	68	60	-
12 ~ 13	44	40	-
13 ~ 14			

図-8 $h_1=13.0 \text{ cm}$, $T=1.29 \text{ sec}$, 最大同時波压

$$T=1.29 \text{ sec}, h_1=13.0 \text{ cm}$$

- 碎石, $P=576 \text{ gr/cm}$, $H_m=19.2 \text{ cm}$
- テトラポット (2層積, 正), $P=556 \text{ gr/cm}$, $H_m=18.5 \text{ cm}$
- 中空4脚N型ブロック (2層積), $P=460 \text{ gr/cm}$, $H_m=21.2 \text{ cm}$ (83%)

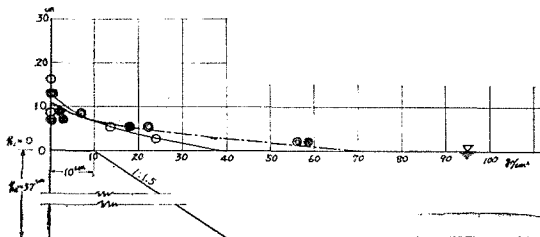


の分布はB型で、その合力 $P_{\max}=468 \text{ gr/cm}$ 、テトラポット堤でもこれとはほとんど同じで、 $P_{\max}=444 \text{ gr/cm}$ にして、わずかに小さいが、中空4脚ブロック堤ではA型分布で、 $P_{\max}=310 \text{ gr/cm}$ で最も小さく、テトラポット堤の約70%である。また 図-8においても、碎石堤およびテトラポット堤ではC型分布であって、 $P_{\max}=576 \text{ gr/cm}$ および556 gr/cmで、あまり差はないが、中空4脚ブロック堤ではA型分布で、 $P_{\max}=469 \text{ gr/cm}$ で最も小さく、テトラポット堤の84%である。

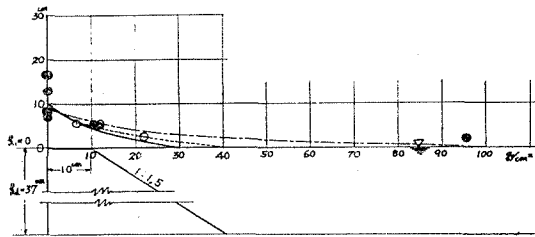
$h_1=0$, $T=1.25 \text{ sec}$ の場合、 $T=1.50 \text{ sec}$ および $T=1.75 \text{ sec}$

図-9 $h_1=0$ cm, $T=1.50$ sec, 最大同時波圧 $T_m=1.25$ sec, $h_1=0$, $h_0=37.0$ cm

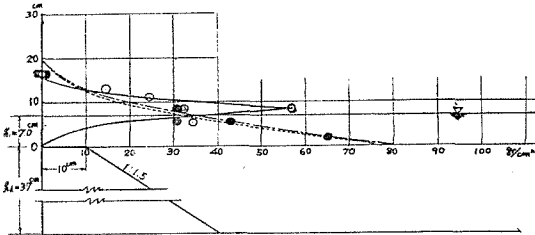
- 破石, $P=259$ gr/cm, $H_m=11.1$ cm
- テトラボット (2層積, 正), $P=264$ gr/cm, $H_m=11.3$ cm
- 中空4脚N型ブロック (2層積), $P=184$ gr/cm, $H_m=13.8$ cm
(69%)

図-10 $h_1=0$ cm, $T=1.50$ sec, 最大同時波圧 $T_m=1.50$ sec, $h_1=0$

- 破石, $P=310$ gr/cm, $H_m=9.3$ cm
- テトラボット (2層積, 正), $P=137$ gr/cm, $H_m=10.3$ cm
- 中空4脚N型ブロック (2層積), $P=103$ gr/cm, $H_m=10.3$ cm
(75%)

図-11 $h_1=7.0$ cm, $T=1.50$ sec, 最大同時波圧 $T_m=1.50$ sec, $h_1=7.0$ cm

- 破石, $P=520$ gr/cm, $H_m=13.0$ cm
- テトラボット (2層積, 正), $P=514$ gr/cm, $H_m=13.7$ cm
- 中空4脚N型ブロック (2層積), $P=266$ gr/cm, $H_m=14.0$ cm
(52%)



1.90 sec の波で $h_1=0, 7, 13$ cm の場合について P_{max} の値を比較すると 図-9~15 に示すごとくあって、これらの場合においても同様に、中空4脚ブロックの P_{max} の値はつねに最も小さく、テトラボット堤の P_{max} の値の 52~87% である。ただし波圧が非常に小さい場合あるいはほとんど重複波に近い場合には消波効果はあまりないから、3種の P_{max} はほとんど同一である。

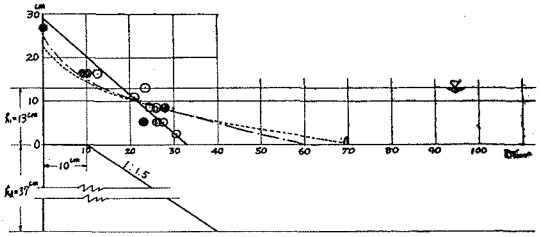
3. 海岸堤防における消波ブロックの効果

(1) 和歌山北港における消波堤の効果

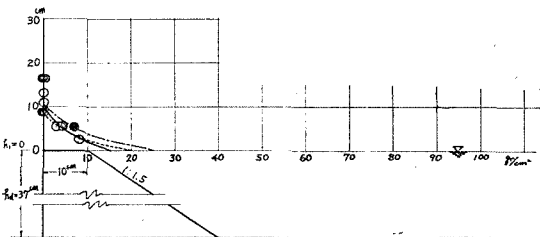
和歌山北港は紀の川河口の右岸（北岸）に昭和 32 年

図-12 $h_1=13.0$ cm, $T=1.50$ sec, 最大同時波圧 $T_m=1.50$ sec, $h=13.0$ cm

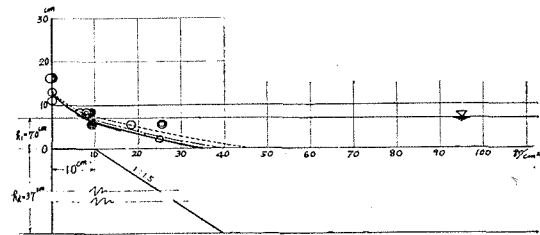
- 破石, $P=516$ gr/cm, $H_m=17.2$ cm
- テトラボット (2層積, 正), $P=560$ gr/cm, $H_m=15.5$ cm
- 中空4脚N型ブロック (2層積), $P=487$ gr/cm, $H_m=18.0$ cm
(487/560=87%)

図-13 $h_1=0$ cm, $T=1.90$ sec, 最大同時波圧 $T_m=1.9$ sec, $h_1=0$

- 破石, $P=90$ gr/cm, $H_m=7.2$ cm
- テトラボット (2層積, 正), $P=60$ gr/cm, $H_m=6.0$ cm
- 中空4脚N型ブロック (2層積), $P=54$ gr/cm, $H_m=7.2$ cm
(90%)

図-14 $h_1=7.0$ cm, $T=1.90$ sec, 最大同時波圧 $T_m=1.90$ sec, $h_1=7.0$ cm

- 破石, $P=180$ gr/cm, $H_m=9.0$ cm
- テトラボット (2層積, 正), $P=203$ gr/cm, $H_m=9.0$ cm
- 中空4脚N型ブロック (2層積), $P=158$ gr/cm, $H_m=9.0$ cm
(78%)



度より築造されつつある鉄鋼港湾であって、この港は住友金属工業 KK 和歌山製造所が前面の海岸を埋立てて鉄鋼一貫工場を建設し、その工場に必要な原料の鉄鋼石、コークスなどを輸入し、製品を輸出するためのものである。

紀の川河口右岸から南および西側に 図-16 に示すような断面形の混成防波堤を突出し、紀伊水道から襲来する波浪を防ぎ、その背面を埋立てて工場敷地を増設するという工法を採用している。したがって、築造当時は防波堤であったが、現在では埋立地の防護岸である。防波堤築造場所の水深は最も海岸に近い 1 号南防波堤では

図-15 $h_1=13 \text{ cm}$, $T=1.90 \text{ sec}$, 最大同時波圧 $T_m=1.90 \text{ sec}$, $h_1=13.0 \text{ cm}$

- 砕石, $P=310 \text{ gr/cm}$, $H_m=12.1 \text{ cm}$
- テトラボット (2層積, 正), $P=310 \text{ gr/cm}$, $H_m=10.9 \text{ cm}$
- 中空4脚N型ブロック (2層積), $P=310 \text{ gr/cm}$, $H_m=12.1 \text{ cm}$

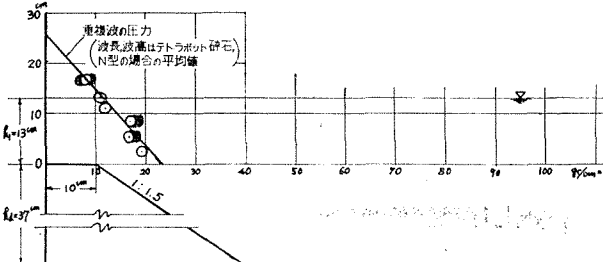


図-16 (a) 第2号防波堤被災当時の断面

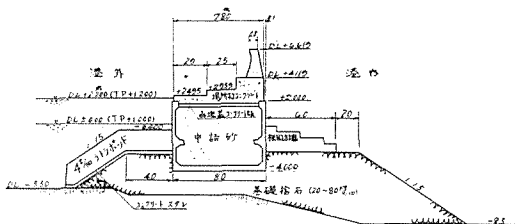
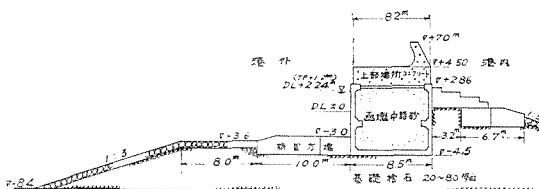


図-16 (b) 第3号防波堤断面



D.L. -2.0~5.0 m, それから沖に向かって2号堤, 3号堤に進むにつれて深くなり, D.L. -5.0~8.0 m, -8.0~9.0 m, その先端の西防波堤で場所では, D.L. -9.0~10.0 m である。

防波堤築造当初の設計波浪は $H_{1/3}=4 \text{ cm}$, $T=9 \sim 14 \text{ sec}$ のうねり性風浪を採用し, 直立部ケーンの設計は広井式を用いてこの波浪に耐えるように設計されたようである。同港の朔望平均満潮面は D.L.+2.10 m (D.L. ±0 = T.P.-1.044 m) で, 台風時でもいちじるしい高潮はない。防潮堤は parapet 天端において, D.L.+7.00 m に造られた。

この2号および3号南防波堤は, 昭和34年9月26日の伊勢湾台風のときいちじるしい跳波を生じ, 多量の越波が埋立地に飛びこんだ。そのときの最大波浪は, $H_{\max}=5.5 \text{ m}$, 最大波浪時の潮位は D.L.+2.10 m と推定されている²⁾。また昭和35年8月27日~29日の台風16号のときにはさらに大きな跳波を生じ, 多量の越波が埋立地へ飛びこみ, また caisson および parapet の切断, 破壊を生じた。図-17 は当時の巨大な跳波および災害の一部を示す。このときの最大波浪は $H=5.0 \text{ m}$,

$T=10 \sim 15 \text{ sec}$ と推定されている。

以上の2回にわたる大きな被害によって, この断面が防波護岸および防波堤として不適当であることが明らかになったので, 改良案について検討が加えられた。当研究室においてはこの防波護岸の越波の減少および直立部に働く碎波の圧力の減少の方法について, 風洞付き波浪水槽および波圧水槽において実験を行なって検討した。実験の順序は, 1/25 の防波堤の模型を風洞水槽内に造り, まず台風時の波浪と風速を水槽内に再現し, そのときの跳波の状況を高速度映画で撮影して台風時と比較し, また直立部 (parapet をふくむ) に働く波圧を測定して最大同時波圧を求め, 直立部の

滑動および parapet の破壊を生ぜしめる波圧が起るかを確かめた。その結果, いずれも良く台風時の状況が風洞水槽内に再現されていることが明らかになったので次に消波方法について検討を行なった。

実験の結果, 2号堤はその天端における階段および parapet の位置などについて, いろいろと検討を要する問題があることが明らかになったが紙面の関係で省き³⁾, 3号堤についてのみ述べる。

図-17 (a)

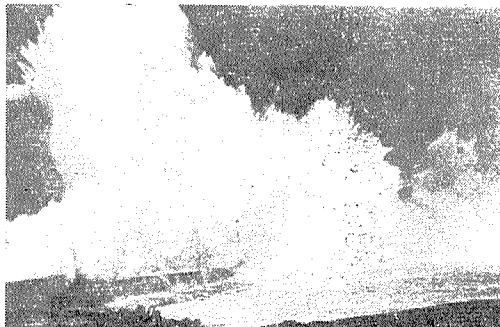


図-17 (b)

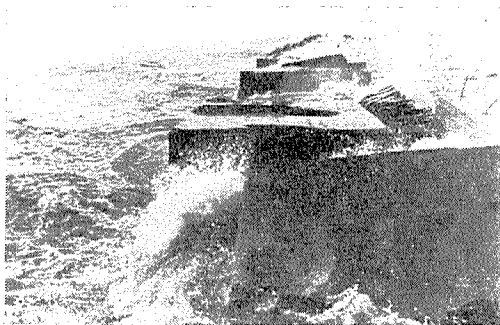


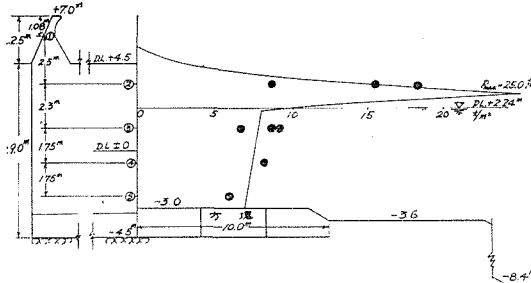
図-16 に示すような断面のままで, たとえば潮位 D.L.+2.24 m (台風時の満潮位) のときは, 直前の水深 $h_1=5.24 \sim 5.84 \text{ m}$ で, 浸入波の波高 $H=5 \text{ m}$, $H/L=0.055$ であるから, 波は完全碎波の状態で強く防波堤に衝突する。したがってその最大同時波圧は 図-18 に示すよう

図-18 和歌山北港3号堤における最大同時波圧

(a) 消波堤がない場合

$P_{\max} = 73.4 \text{ t/m}$

潮位 D.L.+2.24 m (T.P.-1.2 m)
 周期 $T_p = 9.2 \text{ sec}$
 波高 $H_p = 4.8 \text{ m}$
 波長 $L_p = 87.0 \text{ m}$
 波形勾配 $H/L = 0.055$
 風速 $V_p = 20.0 \text{ m/sec}$



(b) 消波堤がある場合

$P_{\max} = 13.4 \text{ t/m}$

 $(T_p = 10 \text{ sec}, V_p = 20 \text{ m/sec})$

D.L.+2.24 m (T.P.+1.2 m)
 $T_p = 9.2 \text{ sec}$
 $H_p = 4.8 \text{ m}$
 $L_p = 87.0 \text{ m}$
 $V_p = 20.0 \text{ m/sec}$
 $H/L = 0.055$

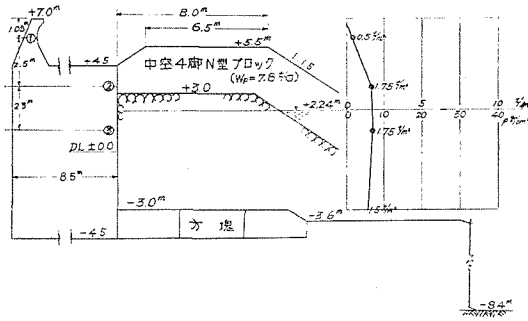
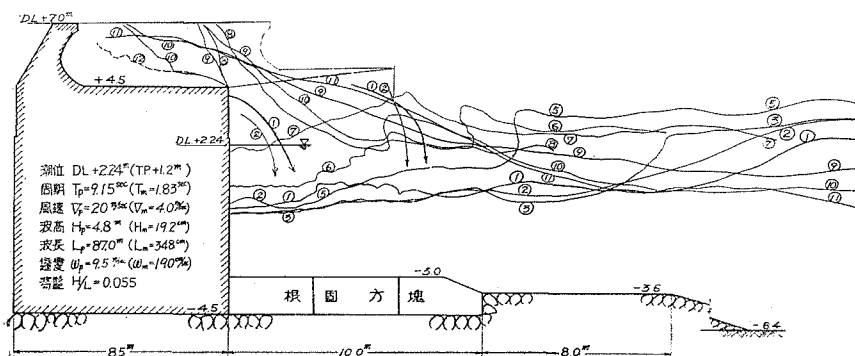


図-19 3号堤における碎波

 $(T_p = 9 \text{ sec} \text{ の波})$

(a) 高速度写真による1/10 secごとの波形



(b) 跳波および越波状況



に非常に強大で、 $P_{\max} = 25 \text{ t/m}^2$ で、普通の碎波の波圧強度としては最大に近い値である。波圧分布は A型であるが、parapet が天端の後端にあるため直立部下部に長時間にわたりかなり大きな波圧が作用している（その理由は文献 3）を参照されたい）。このときの碎波が直立部に衝突するとき $1/10 \text{ sec}$ で、この波形を高速度映画によって撮影した結果を示すと 図-19 および 図-20 のごとくである。

図-17 および 図-19 (b), 図-20 (b) によって明らかのように、大きな碎波が堤防に直接衝突する場合には非常に大きな跳波を生ずるから、堤防天端を $1 \sim 2 \text{ m}$ くらい高くしても到底越波を防ぐことはできないことが知られる。和歌山北港、伊勢湾北岸あるいは須磨・塙海岸などにおける台風時のなはだしい越波、および風洞水槽における実験結果から、台風時の海岸堤防あるいは防波護岸前面の水深が $1 \sim 2 \text{ m}$ 以上で、碎波が直接堤防に衝突する場所では、ただ単に堤防を高くして越波を防ぐということはきわめて困難であって、一般には工費の関係上不可能であると考えられる。

以上のような理由から、3号堤の場合にも 図-21 に示すような消波堤を前面に設置した。その結果、図-18 および 図-22 は示すように、消波効果は非常に大きく、最大波圧強度 $P_{\max} = 1.8 \sim 2.3 \text{ t/m}^2$ で $1/10$ 以下に、

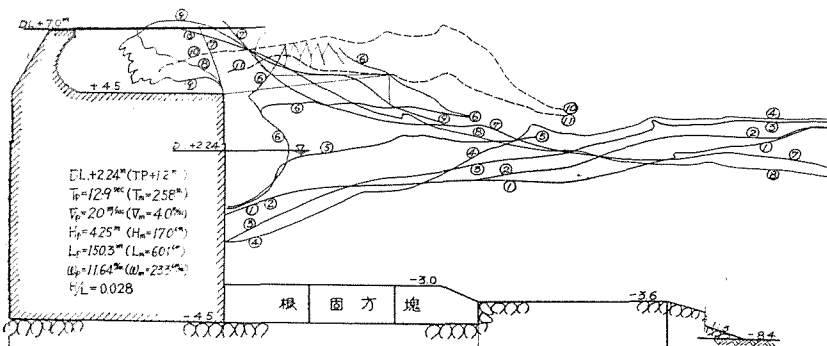
最大同時波圧の合力
 $P_{\max} = 13.4 \sim 14.1 \text{ t/m}^2$ で、ほぼ $1/5$ に減少し、また跳波もいちじるしく減少して、越波はほとんどなくなった。

消波堤上における
 $1/10 \text{ sec}$ ごとの碎波の
 状況を示すと 図-23,
 24 のごとくであつて、 $T_p = 9 \text{ sec}$ ($T_m = 1.83 \text{ sec}$) および $T_p = 13 \text{ sec}$ ($T_m = 2.58 \text{ sec}$) の両種の碎波とも、消

図-20 3号堤による波圧

 $(T_p=13 \text{ sec})$

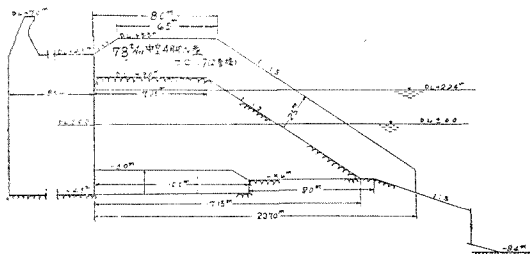
(a)



(b)



図-21 3号堤前面の消波堤



波堤によってその運動量の大部分が吸収され、波頂および先端付近はおびただしい気泡でおおわれている。 $T_p=13 \text{ sec}$ の波は碎波のほとんどが吸収されて parapet に達していない。消波堤の効果がいかに大きいかがよく理解される。

(2) 尼ヶ崎港の外郭防潮堤における消波堤の効果

この防潮堤は尼ヶ崎市全体を大阪湾の高潮および波浪から守るために、シェーン台風（昭和 25 年 9月 3 日）の直後、昭和 26 年～28 年度の 3 カ年で、主としてジ

ーン台風級の高潮および波浪を対象として築造されたものである。その断面は図-25 に示すとき鉄筋コンクリート L 型で、当時としてはわが国で第 1 級の海岸堤防であった。その天端高は O.P.+7.00～8.00m に築造された (O.P.±0 は T.P.-1.045m)。しかるに年々の地盤沈下によって、昭和 34 年 9 月には、閘門付近で O.P.+5.80m に低下した。伊勢湾台風の後、35

年度にかさ上げ工事を行ない、これを O.P.+6.50m にしたが、まだ高さが足りないので、今後 10 年間の地盤沈下量を 1.0m と見込んで、O.P.+7.50m にまでかさ上げすることが計画された。しかしこのかさ上げを行なうには、堤防背後のコンクリート舗装を行なわねばならない。その工事費（間接費をふくめて）ほぼ 15 万円/m である。またこの工事は 36 年夏、秋の台風前に完成し

図-22 消波堤を設置した 3 号堤における台風時の越波状況
(風洞水槽において)



図-23 消波堤における 1/10 sec ごとの波形
($T_p=9 \text{ sec}$)

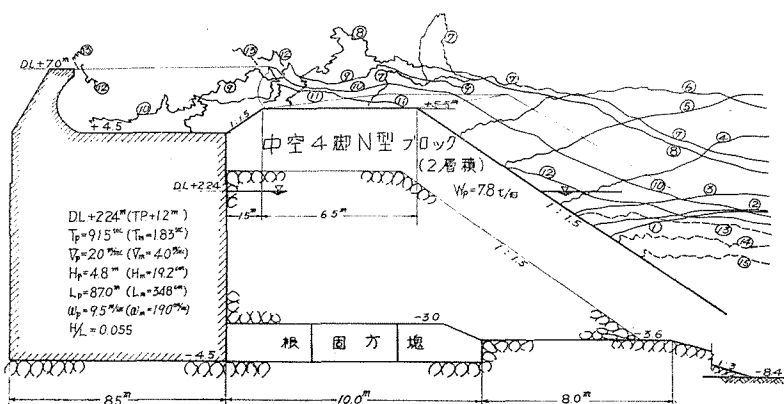


図-24 消波堤における 1/10 sec ごとの波形
($T_p=13$ sec)

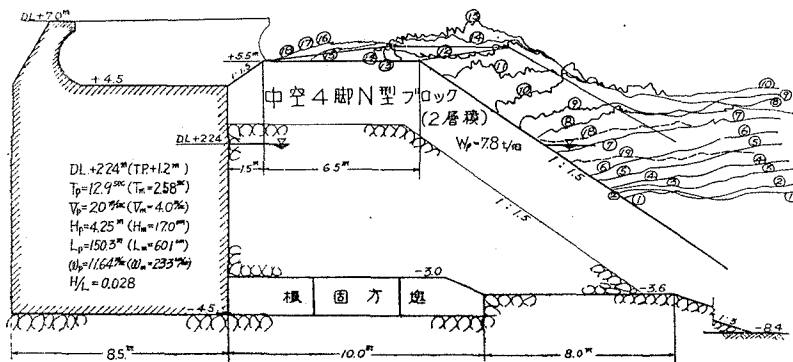
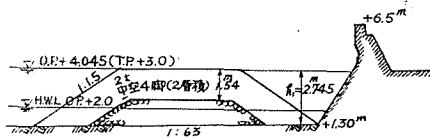


図-25 尼ヶ崎港防潮堤における消波堤



なければならない。尼ヶ崎の防潮堤は 1 年間平均して 10 cm 前後沈下しているが、もし仮りに今後はなはだしい沈下がないとしても、計画潮位 O.P.+4.2 m、設計波浪 $H_{1/10}=2.5$ m、防潮堤前面水深 $h_1=3 \sim 4$ m に対して、天端高が O.P.+6.50~7.50 m の防潮堤では多量の越波を生じて非常に危険である。計画潮位を室戸台風時の最高 2 時間の平均潮位 O.P.+4.20 m にとっても、 $h_1/H > 1.0$ であるから、天端高 O.P.+7.50 m の防潮堤では多量の越波を防ぐことは到底できないことは明らかである。以上のような事情を考慮して、天端高を現在以上に高くすることはやめ、堤防前面に消波堤を築造し、ここで浸入波のエネルギーの大部分を減殺することが最も得策であることを提案し、風洞付き波浪水槽において消波堤の構造、形状、位置などについて種々の実験を行なった。その結果、次に示すような消波堤を築造すれば、天端高が O.P.+6.50 m の防潮堤のままで、室戸台風程度の台風に対して多量の越波を生ぜず、わずかにしぶきが風によって吹込まれる程度であることが明らかになった。この消波堤の築造費(間接費をふくめて)は、91 000 円/m、程度である。15 万円/m の工事費をかけて、O.P.+7.50 m にかさ上げしてもなお室戸台風級の高潮を防ぎえない計画に比較すると、消波堤の築造が経済的にいかに有利であるかがよく理解される。

4. 結 論

防波堤直立部基礎の根固め、あるいは海岸堤防のり先の根固めに対する従来の考え方とは、波力によって基礎が洗掘されることを防止するという消極的なものであったが、最近では根固めに異形コンクリート・ブロックを使用することによって、基礎の洗掘を防止するだけでなく、

さらに進んで波のエネルギーを減殺し、防波堤においては直立部に働く波圧を減少し、海岸堤防においては表法面における波のはい上りあるいは跳波を減少するという積極的な働きを持つ構造物として考えられるようになった。したがって根固め用ブロックとしては、波力に対して安定であることはもちろんであるが、波の運動量をよく吸収するような形状を有するものでなければ

ならない。

このような条件に適合する消波用ブロックとしてさきに中空三角錐ブロックを紹介したが、中空三角錐はテトラポットと同様に三角錐(4面体)から転化したもので、受圧面積が大きく、かつ波圧の合力の作用点が高いので波圧による転倒モーメントが大きい割合に、自重による抵抗モーメントが小さいので、波高がほぼ 4~5 m 以上になると波力に対して不安定になる。それゆえ、波高が 4~5 m あるいはそれ以上の場合にも安定で、しかも消波能力が大きいブロックとして中空 4 脚ブロックを新しくここに紹介した。

(1) 防波堤に使用する場合

暴風時に混成堤直立部前面の水深 h_1 が浸入波高 H に対して $h_1/H=0.50 \sim 1.50$ になる場合には、波は一般に防波堤直前で碎けて直立部に強い波圧をおよぼす。このような場合に、直立部前面および基礎捨石堤の外法を中空 4 脚の消波ブロックで被覆(2 層積)すると、消波効果は非常にいちじるしく、直立部に働く最大同時波圧の合力 P_{max} の値はテトラポットを用いた場合のほぼ 50~90% に減少する。

(2) 海岸堤防に使用する場合

直立型の海岸堤防あるいは防波護岸の前面の水深 h_1 が暴風時に $0.50 \leq h_1/H < 2.0$ で、 $H \geq 3$ m の波が碎波して堤防に直接衝突する場合には、一般に非常に大きな跳波を生じ、跳波高は静水面上 (2~3) H あるいはそれ以上に達する。 $H=4 \sim 5$ m の場合にはしばしば 20~30 m の巨大な跳波を生じ、多量の越波を生ずる。

このような場合には、堤防前面に相当な高さの消波堤を設置しない限り、多量の越波を防止することはほとんど不可能である。

参 考 文 献

- 1) 永井莊七郎：防波堤に働く碎波の圧力に関する研究、土木学会論文集第 65 号・別冊(3-3)、昭和 34 年 12 月。
- 2) 永井莊七郎、外 伊勢湾台風時の和歌山県下の諸港湾における最大波浪の推定、土木学会誌第 45 卷第 6 号、昭和 35 年 6 月。
- 3) 永井莊七郎：和歌山北港の防波護岸の消波構造に関する研究、昭和 36 年 7 月、運輸省和歌山港工事事務所。